



Высокая стойкость к  
электротермоциклированию  
Низкие статические и динамические потери  
Разработан для промышленного применения

Максимально допустимый средний ток в открытом состоянии	$I_{TAV}$	4000 А						
Повторяющееся импульсное напряжение в закрытом состоянии	$U_{DRM}$	1000...1800 В						
Повторяющееся импульсное обратное напряжение	$U_{RRM}$							
Время выключения	$t_q$	320 мкс						
$U_{DRM}, U_{RRM}, В$	1000	1100	1200	1300	1400	1500	1600	1800
Класс по напряжению	10	11	12	13	14	15	16	18
$T_j, °C$	-60...+125							

### ПРЕДЕЛЬНО ДОПУСТИМЫЕ ЗНАЧЕНИЯ ПАРАМЕТРОВ

Обозначение и наименование параметра		Ед. изм.	Значение	Условия измерения	
<b>Параметры в проводящем состоянии</b>					
$I_{TAV}$	Максимально допустимый средний ток в открытом состоянии	А	4000 3840 4750	$T_c=82 °C$ ; двухстороннее охлаждение; $T_c=85 °C$ ; двухстороннее охлаждение; $T_c=70 °C$ ; двухстороннее охлаждение; 180 эл. град. синус; 50 Гц	
$I_{TRMS}$	Действующий ток в открытом состоянии	А	6280	$T_c=82 °C$ ; двухстороннее охлаждение; 180 эл. град. синус; 50 Гц	
$I_{TSM}$	Ударный ток в открытом состоянии	кА	70.0 81.0	$T_j=T_{jmax}$ $T_j=25 °C$	180 эл. град. синус; $t_p=10$ мс; единичный импульс; $U_D=U_R=0$ В; Импульс управления: $I_G=2$ А; $t_{GP}=50$ мкс; $di_G/dt \geq 1$ А/мкс
			74.0 85.0	$T_j=T_{jmax}$ $T_j=25 °C$	180 эл. град. синус; $t_p=8.3$ мс; единичный импульс; $U_D=U_R=0$ В; Импульс управления: $I_G=2$ А; $t_{GP}=50$ мкс; $di_G/dt \geq 1$ А/мкс
$I^2t$	Защитный показатель	$A^2c \cdot 10^3$	24500 32800	$T_j=T_{jmax}$ $T_j=25 °C$	180 эл. град. синус; $t_p=10$ мс; единичный импульс; $U_D=U_R=0$ В; Импульс управления: $I_G=2$ А; $t_{GP}=50$ мкс; $di_G/dt \geq 1$ А/мкс
			22700 29900	$T_j=T_{jmax}$ $T_j=25 °C$	180 эл. град. синус; $t_p=8.3$ мс; единичный импульс; $U_D=U_R=0$ В; Импульс управления: $I_G=2$ А; $t_{GP}=50$ мкс; $di_G/dt \geq 1$ А/мкс

<b>Блокирующие параметры</b>				
$U_{DRM}, U_{RRM}$	Повторяющееся импульсное обратное напряжение и повторяющееся импульсное напряжение в закрытом состоянии	В	1000...1800	$T_{j\ min} < T_j < T_{j\ max}$ ; 180 эл. град. синус; 50 Гц; управление разомкнуто
$U_{DSM}, U_{RSM}$	Неповторяющееся импульсное обратное напряжение и неповторяющееся импульсное напряжение в закрытом состоянии	В	1100...1900	$T_{j\ min} < T_j < T_{j\ max}$ ; 180 эл. град. синус; единичный импульс; управление разомкнуто
$U_D, U_R$	Постоянное обратное и постоянное прямое напряжение	В	$0.6 \cdot U_{DRM}$ $0.6 \cdot U_{RRM}$	$T_j = T_{j\ max}$ ; управление разомкнуто
<b>Параметры управления</b>				
$I_{FGM}$	Максимальный прямой ток управления	А	10	$T_j = T_{j\ max}$
$U_{RGM}$	Максимальное обратное напряжение управления	В	5	
$P_G$	Максимальная рассеиваемая мощность по управлению	Вт	5	$T_j = T_{j\ max}$ для постоянного тока управления
<b>Параметры переключения</b>				
$(di_T/dt)_{crit}$	Критическая скорость нарастания тока в открытом состоянии ( $f=1$ Hz)	А/мкс	630	$T_j = T_{j\ max}$ ; $U_D = 0.67 \cdot U_{DRM}$ ; $I_{TM} = 2 I_{TAV}$ ; Импульс управления: $I_G = 2$ А; $t_{GP} = 50$ мкс; $di_G/dt \geq 2$ А/мкс
<b>Тепловые параметры</b>				
$T_{stg}$	Температура хранения	°С	-60...+50	
$T_j$	Температура р-п перехода	°С	-60...+125	
<b>Механические параметры</b>				
F	Монтажное усилие	кН	60.0...70.0	
a	Ускорение	м/с <sup>2</sup>	50	В зажатом состоянии

## ХАРАКТЕРИСТИКИ

Обозначение и наименование характеристики	Ед. изм.	Значение	Условия измерения	
<b>Характеристики в проводящем состоянии</b>				
$U_{TM}$	Импульсное напряжение в открытом состоянии, макс	В	1.35	$T_j = 25$ °С; $I_{TM} = 6300$ А
$U_{T(TO)}$	Пороговое напряжение, макс	В	0.85	$T_j = T_{j\ max}$ ; $0.5 \pi I_{TAV} < I_T < 1.5 \pi I_{TAV}$
$r_T$	Динамическое сопротивление в открытом состоянии, макс	МОм	0.080	
$I_L$	Ток включения, макс	мА	1500	$T_j = 25$ °С; $U_D = 12$ В; Импульс управления: $I_G = 2$ А; $t_{GP} = 50$ мкс; $di_G/dt \geq 1$ А/мкс
$I_H$	Ток удержания, макс	мА	300	$T_j = 25$ °С; $U_D = 12$ В; управление разомкнуто
<b>Блокирующие характеристики</b>				
$I_{DRM}, I_{RRM}$	Повторяющийся импульсный обратный ток и повторяющийся импульсный ток в закрытом состоянии, макс	мА	300	$T_j = T_{j\ max}$ ; $U_D = U_{DRM}$ ; $U_R = U_{RRM}$
$(du_D/dt)_{crit}$	Критическая скорость нарастания напряжения в закрытом состоянии <sup>1)</sup> , мин	В/мкс	500, 1000, 1600	$T_j = T_{j\ max}$ ; $U_D = 0.67 \cdot U_{DRM}$ ; управление разомкнуто

Характеристики управления					
$U_{GT}$	Отпирающее постоянное напряжение управления, макс	В	5.00 3.00 2.00	$T_j = T_{j \min}$ $T_j = 25 \text{ }^\circ\text{C}$ $T_j = T_{j \max}$	$U_D = 12 \text{ В}; I_D = 3 \text{ А};$ Постоянный ток управления
$I_{GT}$	Отпирающий постоянный ток управления, макс	мА	500 300 200	$T_j = T_{j \min}$ $T_j = 25 \text{ }^\circ\text{C}$ $T_j = T_{j \max}$	
$U_{GD}$	Неотпирающее постоянное напряжение управления, мин	В	0.35	$T_j = T_{j \max};$ $U_D = 0.67 \cdot U_{DRM};$	Постоянный ток управления
$I_{GD}$	Неотпирающий постоянный ток управления, мин	мА	15.00	Постоянный ток управления	

### Динамические характеристики

$t_{gd}$	Время задержки включения, макс	мкс	4.00	$T_j = 25 \text{ }^\circ\text{C}; U_D = 1000 \text{ В}; I_{TM} = I_{TAV};$ $di/dt = 200 \text{ А/мкс};$ Импульс управления: $I_G = 2 \text{ А}; U_G = 20 \text{ В};$ $t_{GP} = 50 \text{ мкс}; di_G/dt = 2 \text{ А/мкс}$
$t_q$	Время выключения <sup>2)</sup> , макс	мкс	320	$du_D/dt = 50 \text{ В/мкс}; T_j = T_{j \max}; I_{TM} = I_{TAV};$ $di_R/dt = -10 \text{ А/мкс}; U_R = 100 \text{ В};$ $U_D = 0.67 \cdot U_{DRM};$
$Q_{rr}$	Заряд обратного восстановления, макс	мкКл	3200	$T_j = T_{j \max}; I_{TM} = 1000 \text{ А};$ $di_R/dt = -10 \text{ А/мкс};$ $U_R = 100 \text{ В}$
$t_{rr}$	Время обратного восстановления, макс	мкс	34	
$I_{rr}$	Обратный ток восстановления, макс	А	188	

### Тепловые характеристики

$R_{thjc}$	Тепловое сопротивление р-п переход-корпус, макс	$^\circ\text{C/Вт}$	0.0065	Постоянный ток	Двухстороннее охлаждение
$R_{thjc-A}$			0.0143		Охлаждение со стороны анода
$R_{thjc-K}$			0.0117		Охлаждение со стороны катода
$R_{thck}$	Тепловое сопротивление корпус-охладитель, макс	$^\circ\text{C/Вт}$	0.0015	Постоянный ток	

### Механические характеристики

$m$	Масса, макс	г	1370	
$D_s$	Длина пути тока утечки по поверхности	мм (дюйм)	36.50 (1.437)	
$D_a$	Длина пути тока утечки по воздуху	мм (дюйм)	16.50 (0.650)	

### МАРКИРОВКА

T	183	4000	18	A2	K2	УХЛ2
1	2	3	4	5	6	7

1. Низкочастотный тиристор
2. Конструктивное исполнение
3. Средний ток в открытом состоянии, А
4. Класс по напряжению
5. Критическая скорость нарастания напряжения в закрытом состоянии, В/мкс
6. Группа по времени выключения ( $du_D/dt = 50 \text{ В/мкс}$ )
7. Климатическое исполнение по ГОСТ 15150: УХЛ2, Т2

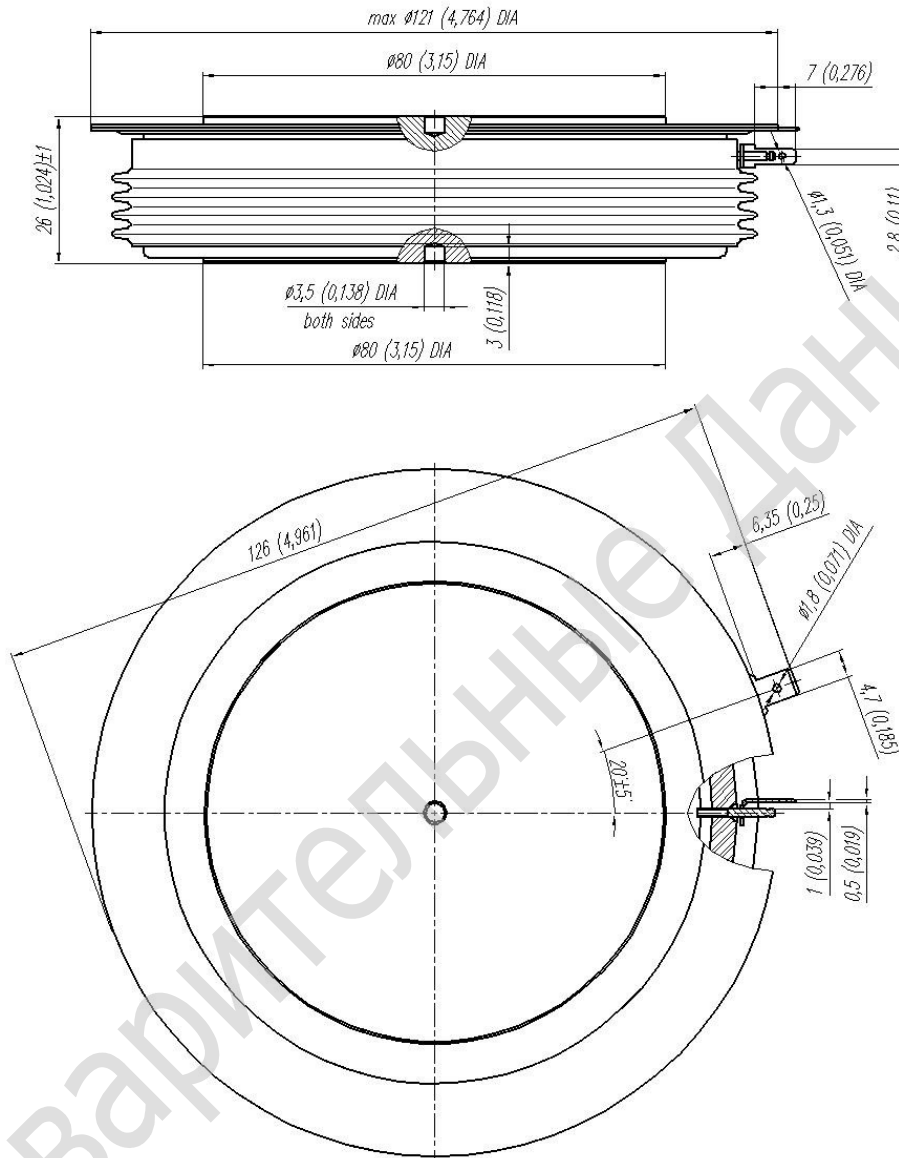
### ПРИМЕЧАНИЕ

1) Критическая скорость нарастания напряжения в закрытом состоянии

Обозначение группы	E2	A2	T1
$(du_D/dt)_{crit}, \text{ В/мкс}$	500	1000	1600

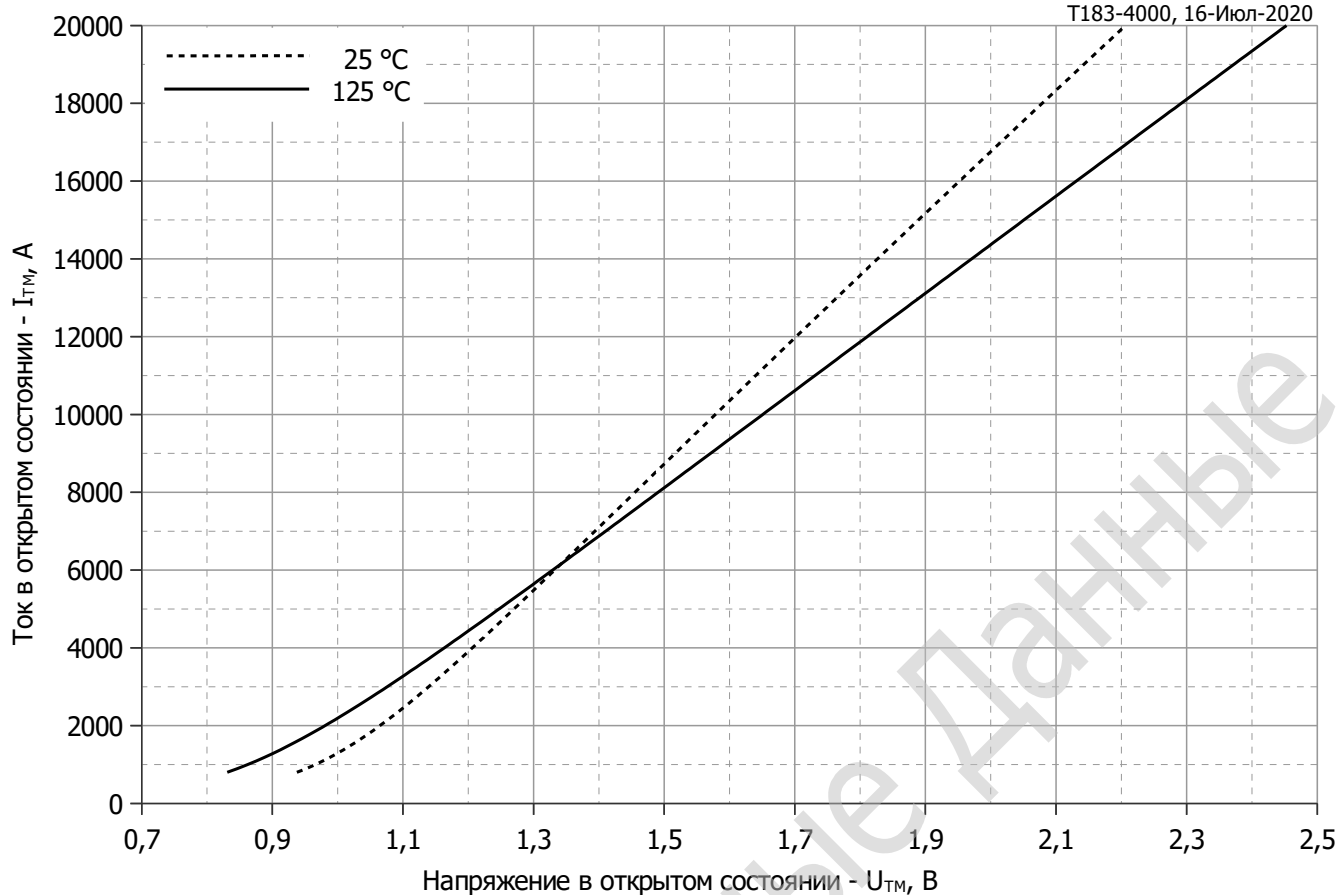
2) Время выключения ( $du_D/dt = 50 \text{ В/мкс}$ )

Обозначение группы	K2
$t_q, \text{ мкс}$	320



Все размеры в миллиметрах (дюймах)

Содержащаяся здесь информация является конфиденциальной и находится под защитой авторских прав. В интересах улучшения качества продукции, АО «Протон-Электротекс» оставляет за собой право изменять информационные листы без уведомления.



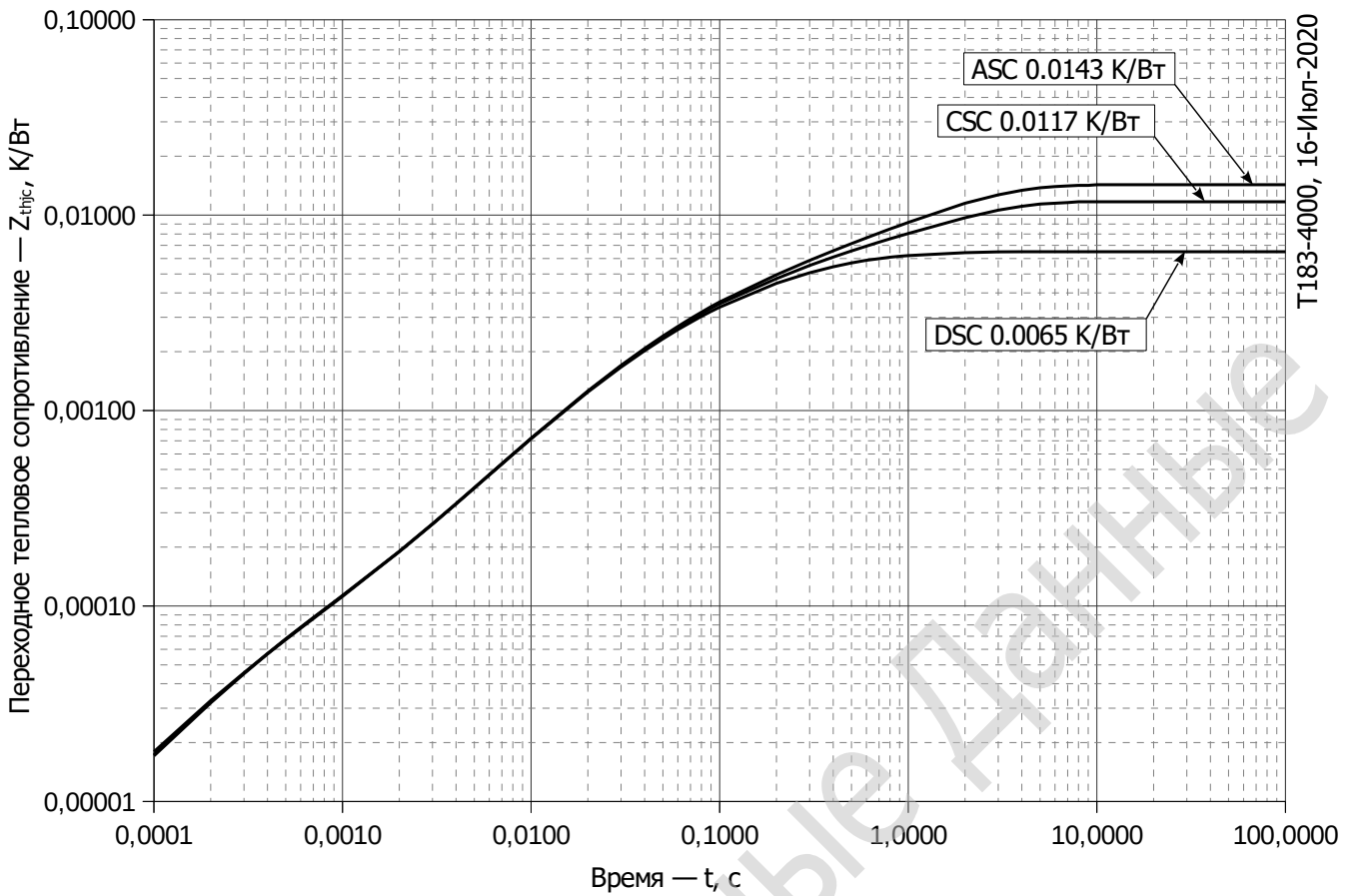
**Рис. 1 – Предельная вольт – амперная характеристика**

Аналитическая функция предельной вольт — амперной характеристики:

$$V_T = A + B \cdot i_T + C \cdot \ln(i_T + 1) + D \cdot \sqrt{i_T}$$

	Коэффициенты для графика	
	$T_j = 25^\circ\text{C}$	$T_j = T_{j \max}$
<b>A</b>	0.00020047	0.00014317
<b>B</b>	0.00008131	0.00009212
<b>C</b>	0.16075151	0.13494670
<b>D</b>	-0.00715596	-0.00513337

**Модель предельной вольт – амперной характеристики (см. Рис. 1)**



**Рис. 2 – Зависимость переходного теплового сопротивления  $Z_{thjc}$  от времени  $t$**

Аналитическая зависимость переходного теплового сопротивления переход — корпус:

$$Z_{thjc} = \sum_{i=1}^n R_i \left( 1 - e^{-\frac{t}{\tau_i}} \right)$$

Где  $i = 1$  to  $n$ ,  $n$  – число суммирующихся элементов.

$t$  = продолжительность импульсного нагрева в секундах.

$Z_{thjc}$  = Тепловое сопротивление за время  $t$ .

$R_i, \tau_i$  = расчетные коэффициенты, приведенные в таблице.

Постоянный ток, двустороннее охлаждение

$i$	1	2	3	4	5	6
$R_i, K/W$	0.001031	0.003117	0.001895	0.0004176	2.061e-005	1.999e-005
$\tau_i, s$	0.7345	0.209	0.05291	0.01652	0.0006764	0.0002168

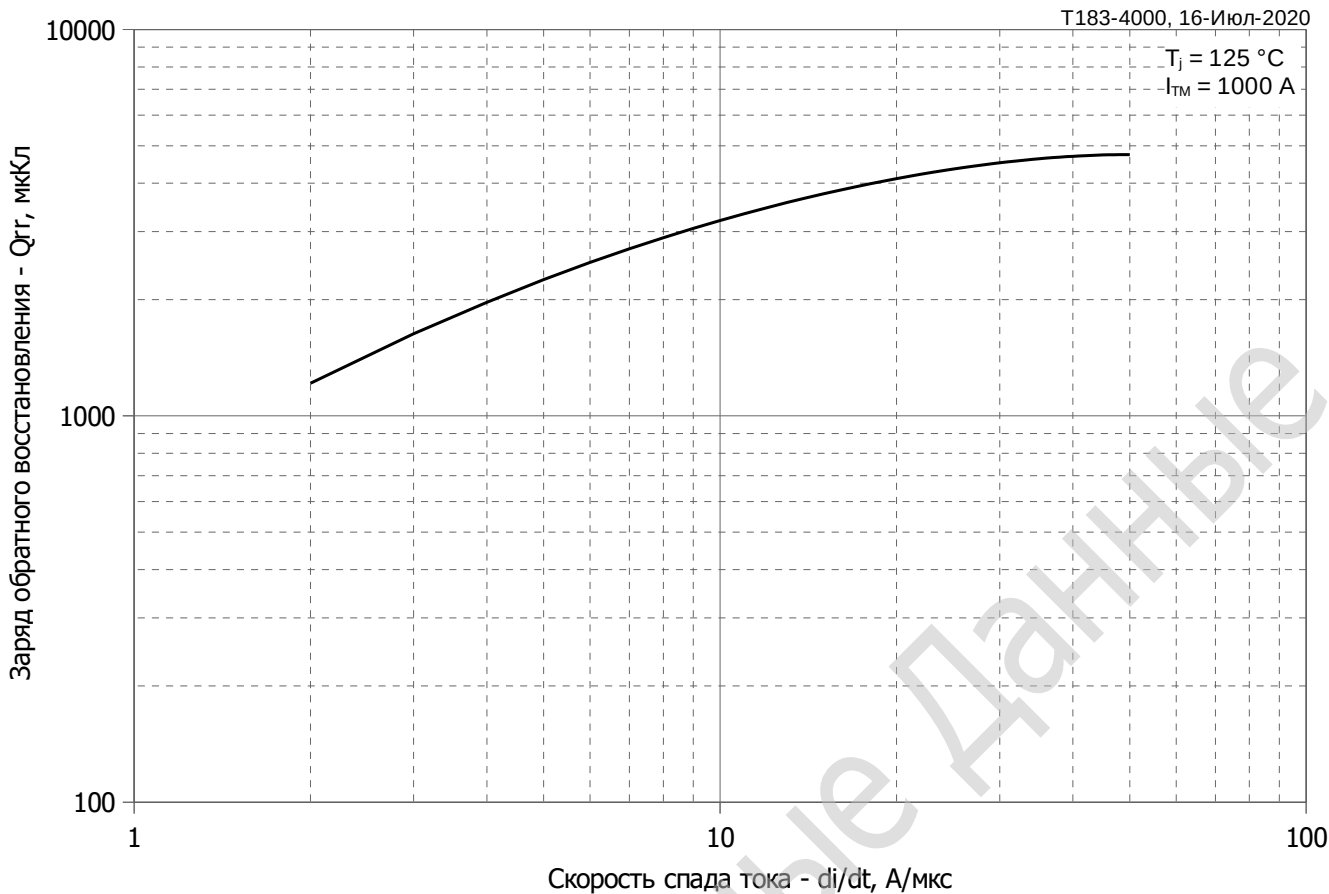
Постоянный ток, охлаждение со стороны анода

$i$	1	2	3	4	5	6
$R_i, K/W$	0.00848	0.001792	0.002597	0.00179	0.0003904	3.851e-005
$\tau_i, s$	1.845	0.9581	0.2011	0.05234	0.01605	0.0003606

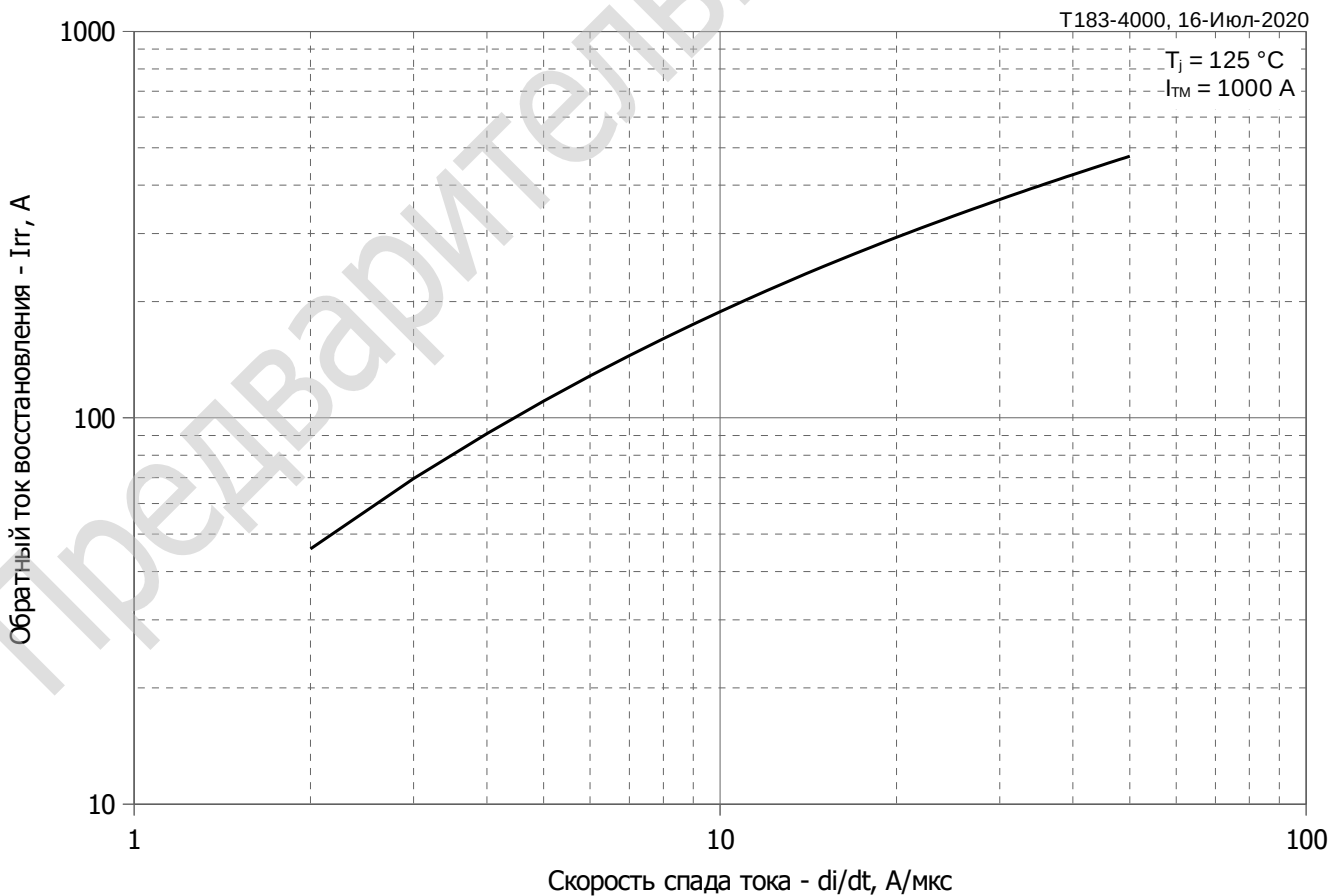
Постоянный ток, охлаждение со стороны катода

$i$	1	2	3	4	5	6
$R_i, K/W$	0.001475	0.005797	0.002722	0.001822	0.0003923	3.824e-005
$\tau_i, s$	0.8755	1.835	0.1997	0.05221	0.01594	0.0003499

**Модель переходного теплового сопротивления переход - корпус (см. Рис. 2)**

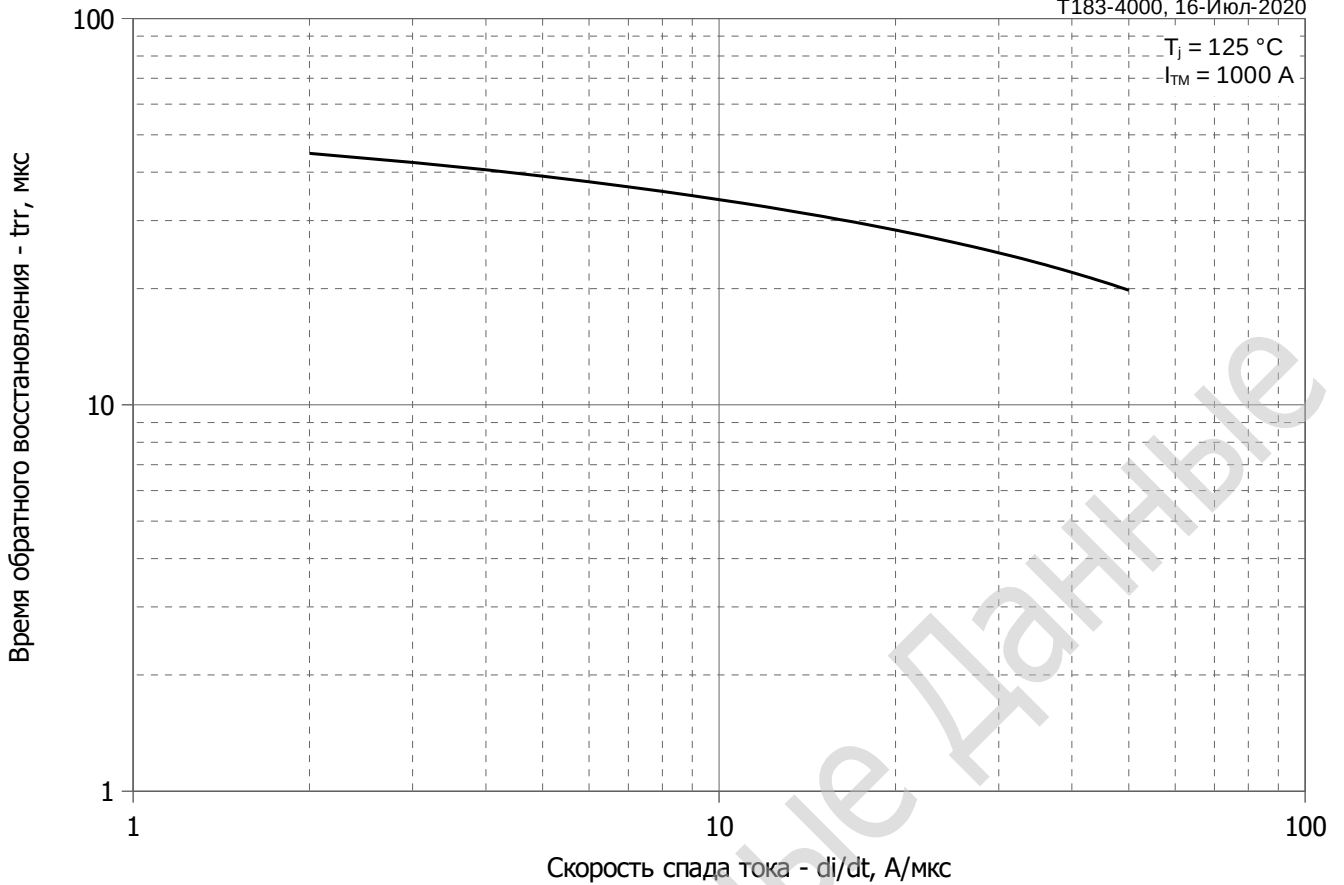


**Рис. 3 – Зависимость максимального заряда обратного восстановления  $Q_{rr}$  от скорости спада тока  $di_R/dt$  (по ГОСТ 24461, хорда 25%) в открытом состоянии**

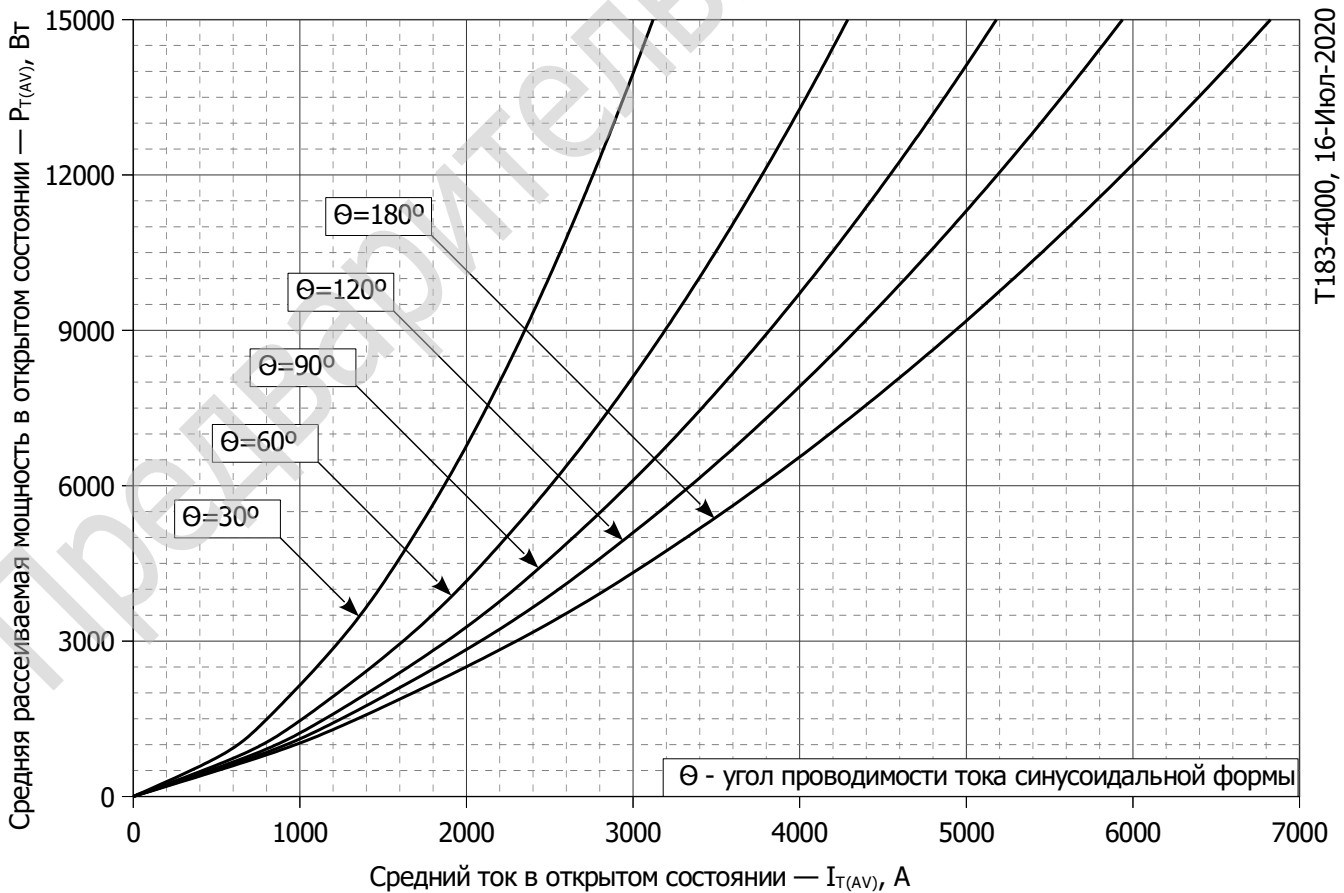


**Рис. 4 – Зависимость максимального обратного тока восстановления  $I_{rr}$  от скорости спада тока  $di_R/dt$  в открытом состоянии**

$T_j = 125 \text{ }^\circ\text{C}$   
 $I_{TM} = 1000 \text{ A}$



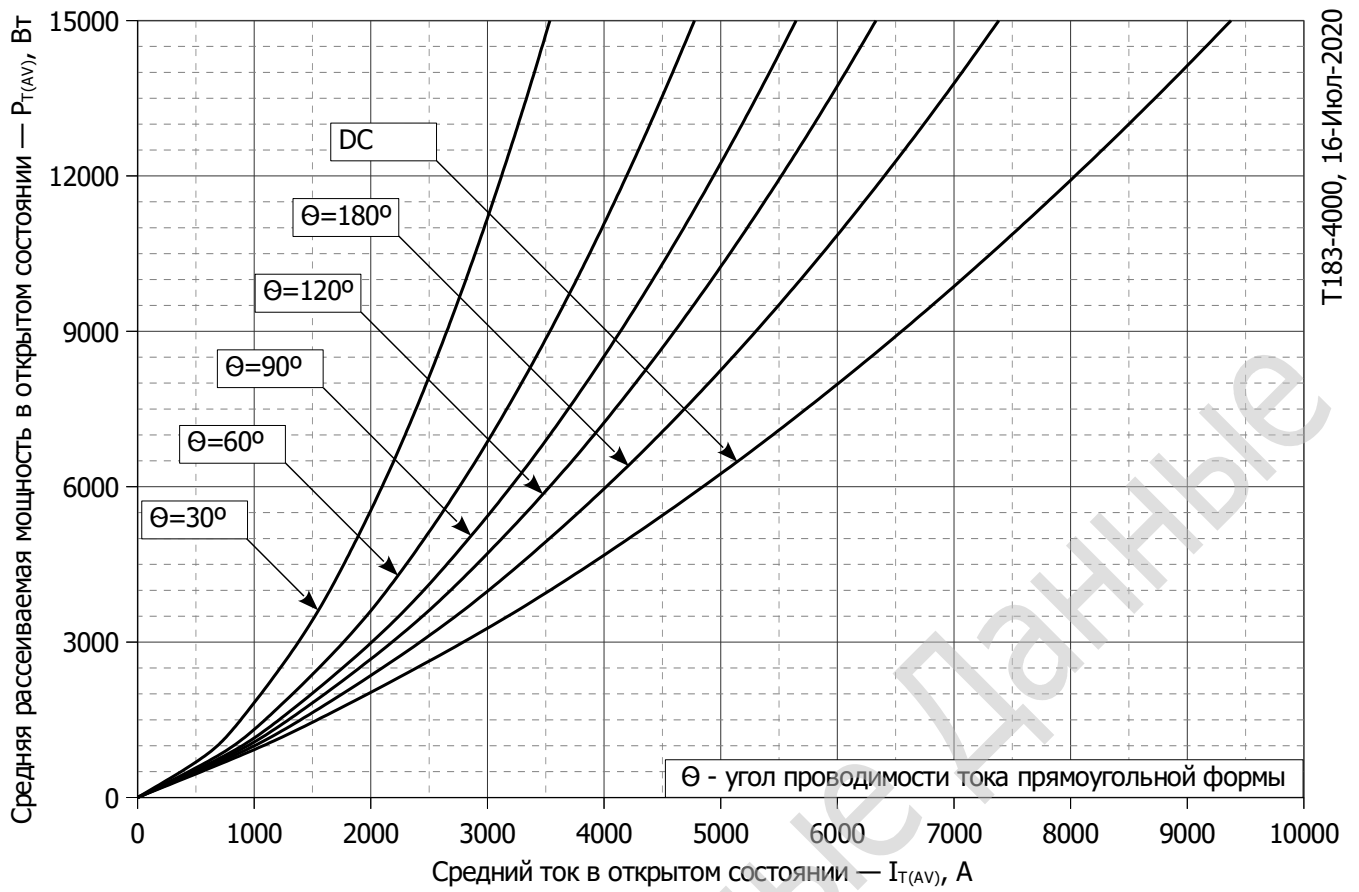
**Рис. 5 - Зависимость максимального времени обратного восстановления  $t_{tr}$  от скорости спада тока  $di_R/dt$  (по ГОСТ 24461, хорда 25%) в открытом состоянии**



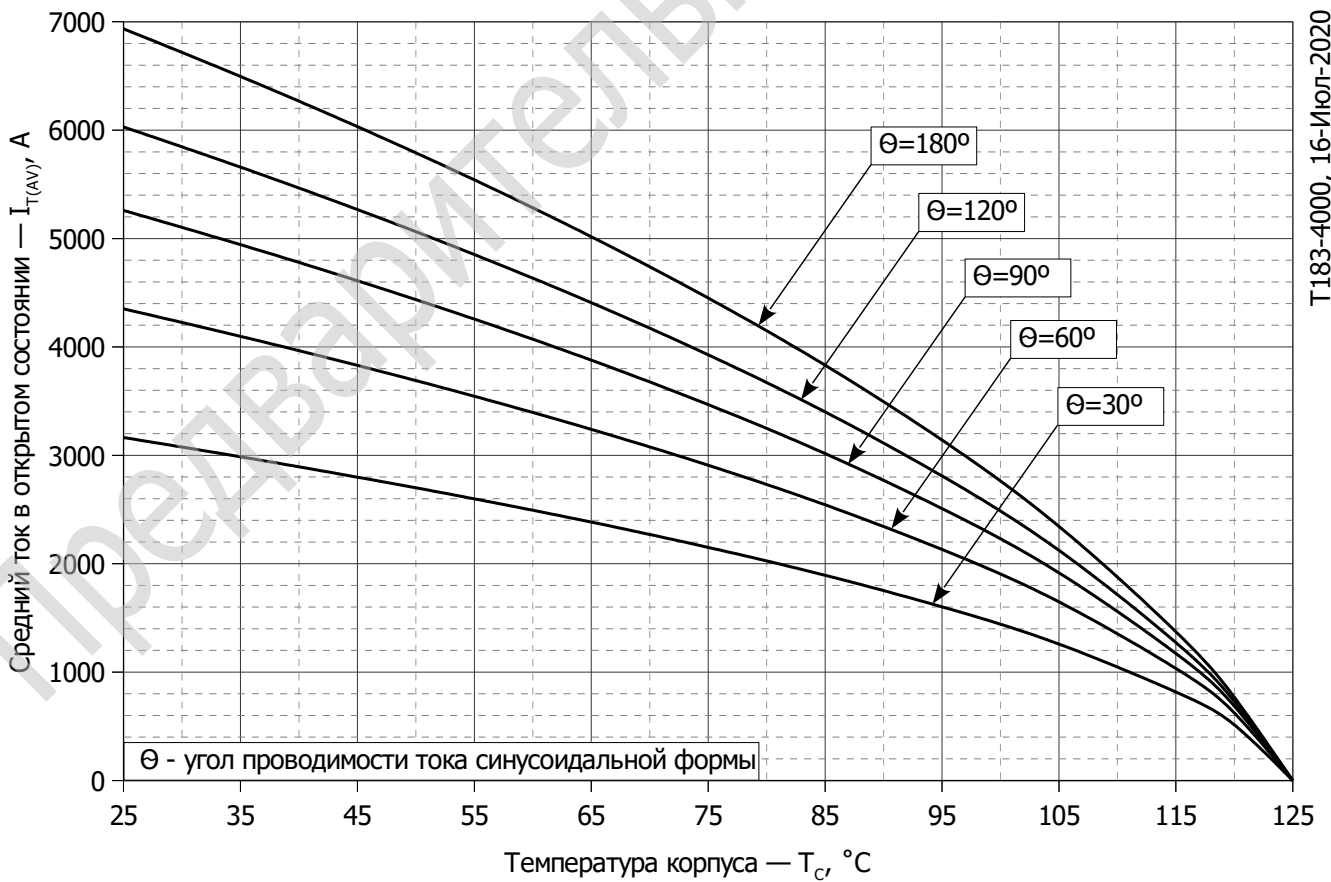
T183-4000, 16-Июль-2020

**Рис. 6 - Зависимость потерь мощности  $P_{TAV}$  от среднего тока в открытом состоянии  $I_{TAV}$  синусоидальной формы при различных углах проводимости ( $f=50 \text{ Гц}$ , двухстороннее охлаждение)**

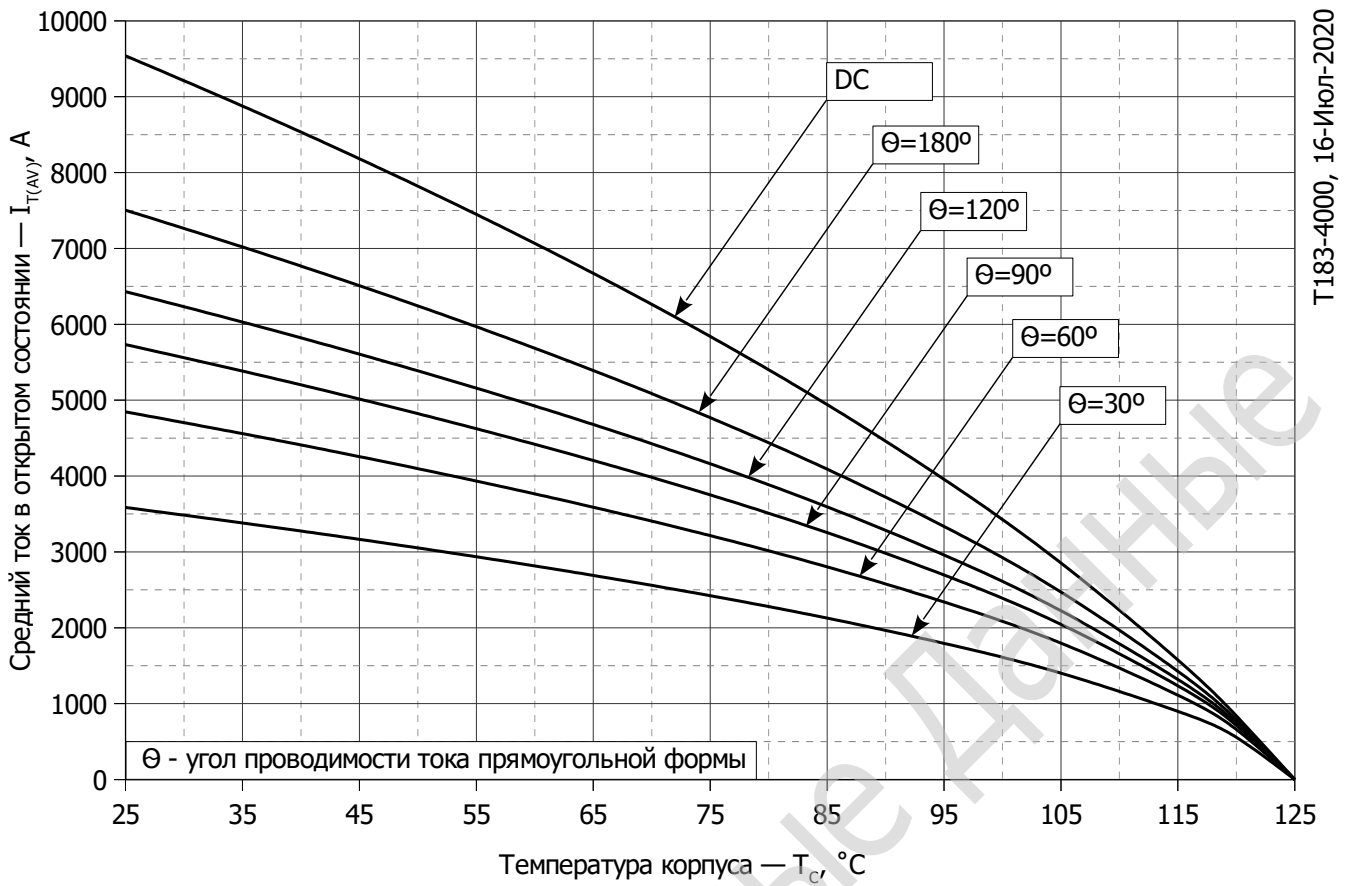




**Рис. 7 – Зависимость потерь мощности  $P_{TAV}$  от среднего тока в открытом состоянии  $I_{TAV}$  прямоугольной формы при различных углах проводимости ( $f=50$  Гц, двухстороннее охлаждение)**



**Рис. 8 – Зависимость среднего тока в открытом состоянии  $I_{TAV}$  от температуры корпуса  $T_c$  для синусоидальной формы тока при различных углах проводимости ( $f=50$  Гц, двухстороннее охлаждение)**



T183-4000, 16-Июл-2020

Рис. 9 - Зависимость среднего тока в открытом состоянии  $I_{TAV}$  от температуры корпуса  $T_c$  для прямоугольной формы тока при различных углах проводимости ( $f=50$  Гц, двухстороннее охлаждение)

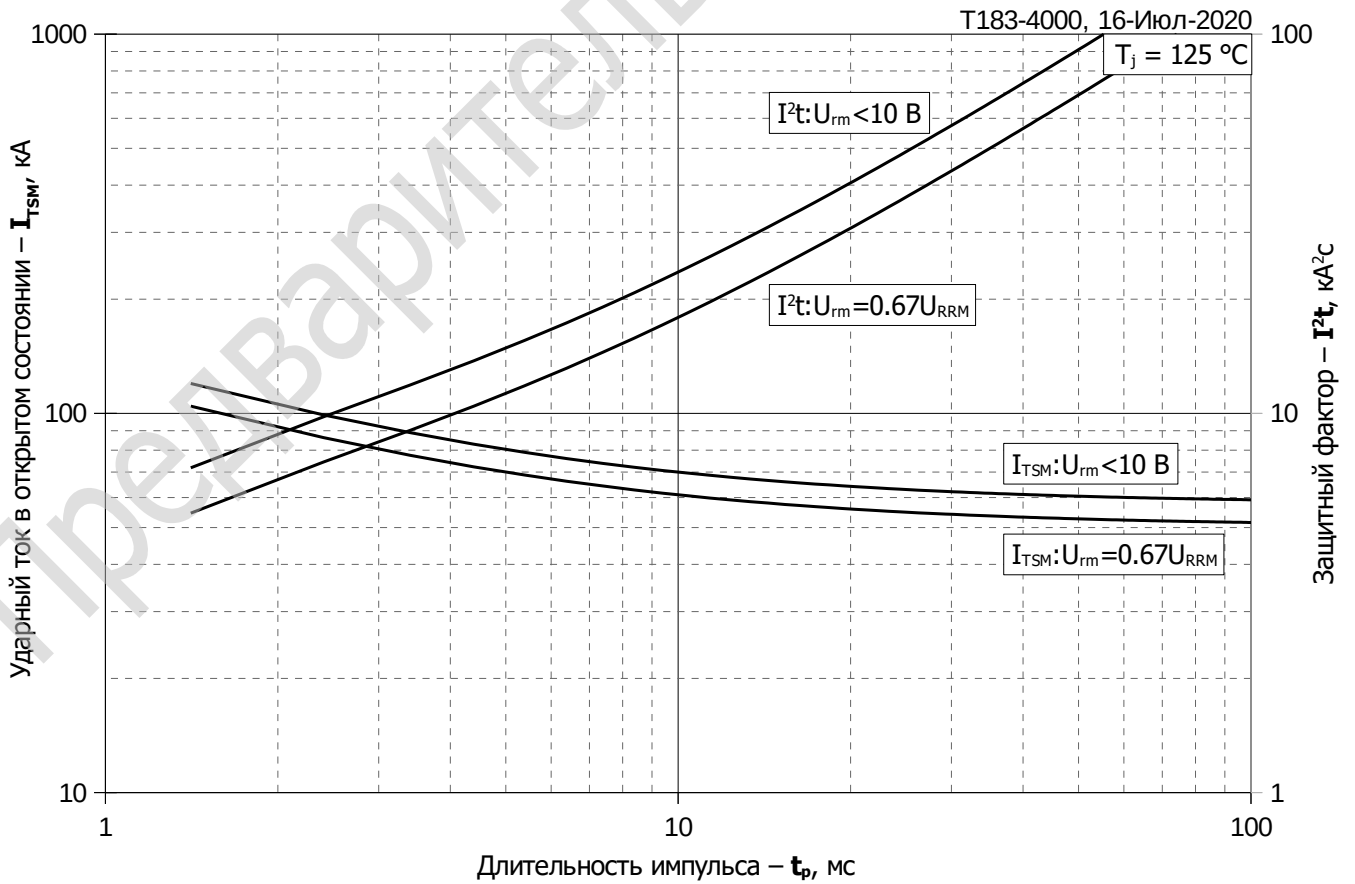
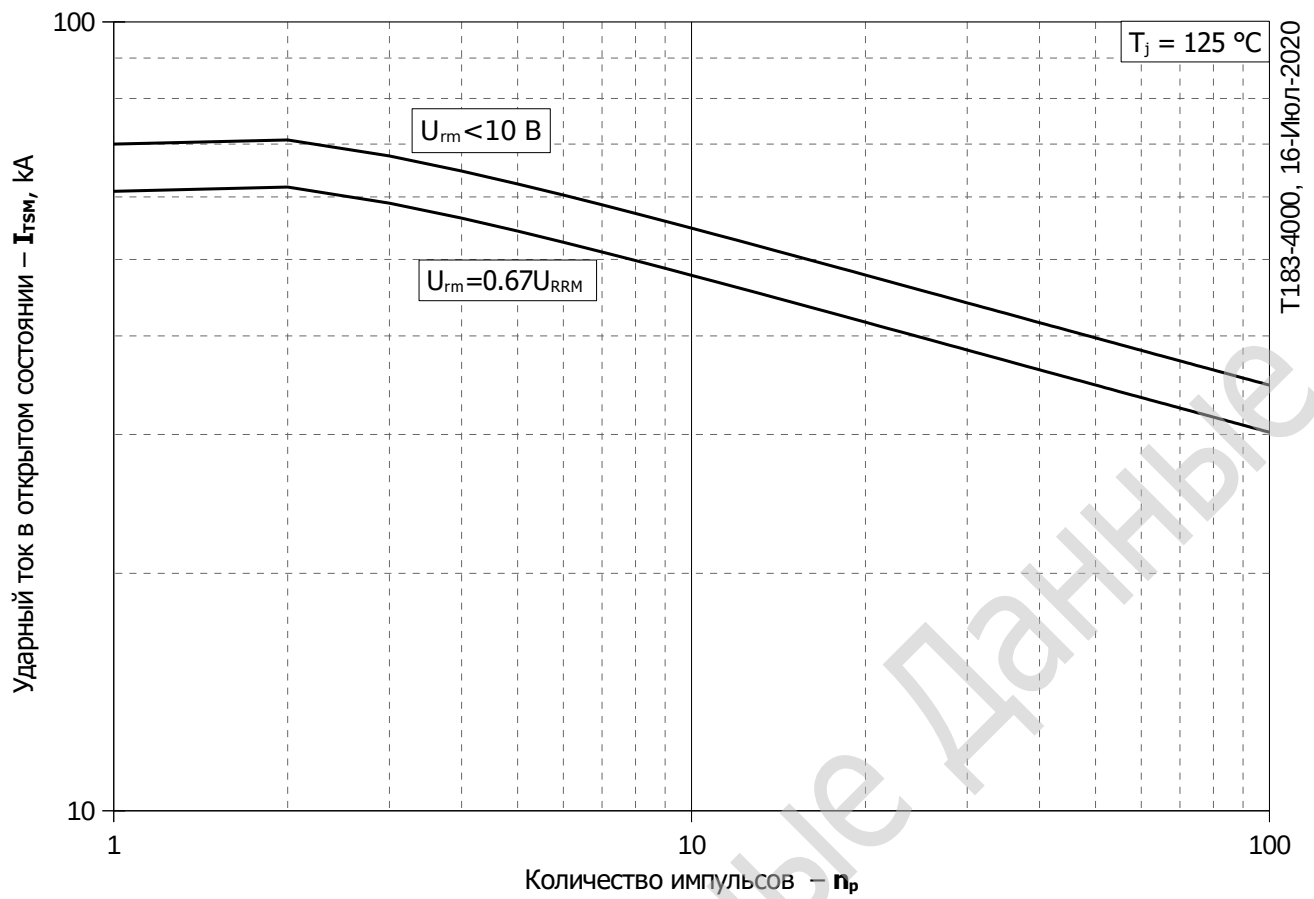


Рис. 10 – Зависимость максимальной амплитуды ударного тока в открытом состоянии  $I_{TSM}$  и защитного фактора  $I^2t$  от длительности импульса  $t_p$



**Рис. 11 – Зависимость максимальной амплитуды ударного тока в открытом состоянии  $I_{TSM}$  от количества импульсов  $n_p$**